

Zeitschrift: IABSE congress report = Rapport du congrès AIPC = IVBH
Kongressbericht

Band: 12 (1984)

Artikel: Compound strip analysis of slab-girder bridges

Autor: Puckett, J.A. / Gutkowski, R.M.

DOI: <https://doi.org/10.5169/seals-12254>

Nutzungsbedingungen

Die ETH-Bibliothek ist die Anbieterin der digitalisierten Zeitschriften auf E-Periodica. Sie besitzt keine Urheberrechte an den Zeitschriften und ist nicht verantwortlich für deren Inhalte. Die Rechte liegen in der Regel bei den Herausgebern beziehungsweise den externen Rechteinhabern. Das Veröffentlichen von Bildern in Print- und Online-Publikationen sowie auf Social Media-Kanälen oder Webseiten ist nur mit vorheriger Genehmigung der Rechteinhaber erlaubt. [Mehr erfahren](#)

Conditions d'utilisation

L'ETH Library est le fournisseur des revues numérisées. Elle ne détient aucun droit d'auteur sur les revues et n'est pas responsable de leur contenu. En règle générale, les droits sont détenus par les éditeurs ou les détenteurs de droits externes. La reproduction d'images dans des publications imprimées ou en ligne ainsi que sur des canaux de médias sociaux ou des sites web n'est autorisée qu'avec l'accord préalable des détenteurs des droits. [En savoir plus](#)

Terms of use

The ETH Library is the provider of the digitised journals. It does not own any copyrights to the journals and is not responsible for their content. The rights usually lie with the publishers or the external rights holders. Publishing images in print and online publications, as well as on social media channels or websites, is only permitted with the prior consent of the rights holders. [Find out more](#)

Download PDF: 10.08.2025

ETH-Bibliothek Zürich, E-Periodica, <https://www.e-periodica.ch>

J.A. PUCKETT — R.M. GUTKOWSKI
Colorado State Univ., Fort Collins, CO, USA

COMPOUND STRIP ANALYSIS OF SLAB-GIRDER BRIDGES

COMPOUND STRIP - THE MECHANICS

The strain energy of the strip, including plate and attached beams and columns, is expressed in terms $w(x,y)$ and minimized with respect to the displacements associated with the strip, Δ . This minimization gives a strip stiffness matrix for the compound strip which includes axial and flexural stiffnesses of the columns, flexural and torsional stiffness of the beams, and the stiffness of the plate. The strip stiffness matrices are combined in the conventional manner to form the global stiffness matrix. The half bandwidth of the stiffness matrix is small, which reduces the computation effort required to determine state variables which establish displacements and actions.

STRIP DISPLACEMENT FUNCTION

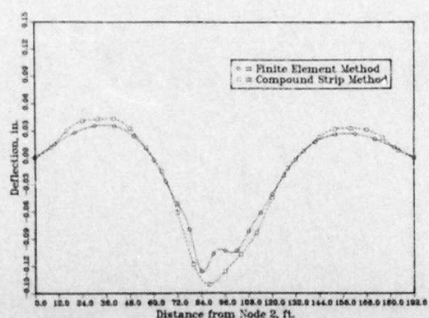
$$w(x,y) = \sum_{m=1}^{\infty} Y_m X_m = \sum_{m=1}^{\infty} Y_m [C] \{\Delta_m\}$$

$$Y_m = \sin\left(\frac{m\pi y}{l}\right)$$

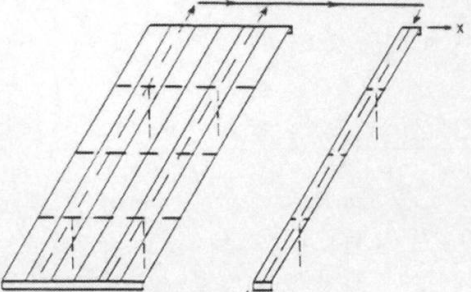
C = a row vector containing third order Hermitian polynomials in x .

m = a column vector containing four displacements per mode m .

Deflection Between Nodes 2 & 218



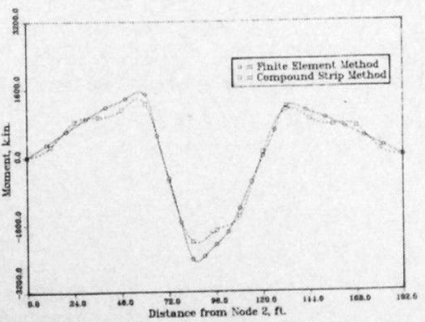
CSM IDEALIZATION



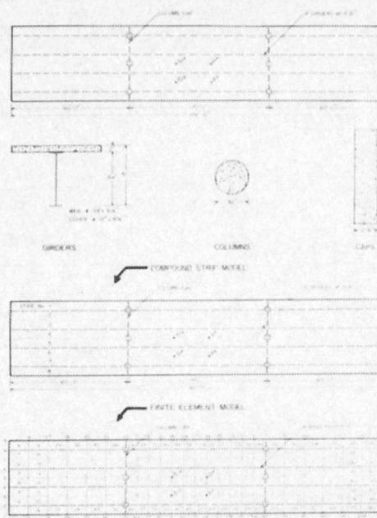
ANALYSIS SUMMARY

	FEM	CSM
Maximum Deflection, in.	0.126	0.128
Maximum Support Reaction, kip.	30.1	32.2
Maximum Girder Moment, kin.	-2430 1500	-2000 1270

Girder Moment Between Nodes 2 & 218



ILLUSTRATIVE EXAMPLE



Transverse Moment Between Nodes 91 & 99

